

## II-58 強制蛇行における実験的的研究

京都大学防災研究所 正員 伏野勝正  
 " " 萩田和男  
 鴻池組 " 倉見靖国

**1. 要旨** 移動床水路においては、ある水理条件のもとで左右交互の砂礫堆が形成され、これによつて水流が蛇行する。二つの砂礫堆は両壁を固定した直線水路においては流下移動すが、同じ距離（砂礫堆2ヶを一束長とする）をもつ両壁を固定した蛇行水路（これを強制蛇行水路と呼ぶ）においては、その振巾によって、その移動状況は異なり、ある振巾にありて移動が停止する。本研究においては、振巾による砂礫堆の挙動がどうか變化するかを実験的に明らかにし、かつ砂礫堆が固定した場合における砂礫堆の形態について、若干の考察を行つたものである。こうした現象の解明は、蛇行現象解明の一環 approachとも考えられ、かつ實際問題としては、流路の固定といふ概念の実験計画を行つた場合の基礎資料を提供するものと考えられる重要な問題である。

表-1

**2. 実験概要** 実験水路は有効長18m、幅0.5m、その種類は図-1および表-1のとおりである。使用砂は  $d_{50}=0.9\text{ mm}$  の比較的均一砂。流量2~5m/s、給砂量0~30kg/m<sup>3</sup>、勾配1/100~1/100の範囲内で3種類に分けて、砂礫堆の形態、移動状況、水面形状および流砂量などを測定した。

水路記号	S	M <sub>I</sub>	M <sub>II</sub>	M <sub>III</sub>
中心半径 $r_c(\text{m})$	1.20	3.41	10.01	
直線距離 $a(\text{m})$	0.40	0	0	
中心角 $\theta(\text{°})$	90°	34.12°	11.30°	
束長 $l(\text{m})$	4.00	4.00	4.00	

**3. 実験結果とその考察** 直線水路における砂礫堆の長さ  $l$ 、平均の高さを4cmとすれば、実験結果より、 $l/B$  は主としてフルード数の関数に従うとある。つまり砂礫堆の移動速度  $U_d$  は、砂礫堆の上面の流砂量  $q_B$  とともに、

$$U_d = q_B / \Delta z (1 - \alpha) \quad \dots \quad (1)$$

で与えられる。 $\alpha = 2^\circ$

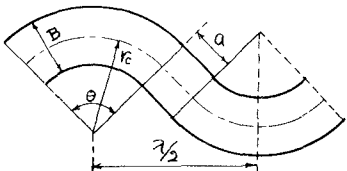


図-1

$$q_B / U_d = K \left\{ (U_f^2 - U_{fc}^2) / (\sigma - \beta) g d \right\}^2 \quad \dots \quad (2)$$

ここで  $U_f$  は  $l/B$ 、 $\Delta z/d$  が Froude 数の関数であることを考慮すれば、

$$(U_d/U_f) / (B/d) / \left\{ (U_f^2 - U_{fc}^2) / (\sigma - \beta) g d \right\}^2 = f(F_r) \quad \dots \quad (3)$$

となる。実験値により(3)式の関係を示すと図-2のとおりであり、各種の場合をかなり統一的に説明できるようである。次に蛇行水路における砂礫堆の特性であるが、もともと曲率半径の大い M<sub>III</sub> の場合は直線水路の場合とほとんど変化なく、凸岸をまわって流下する。次に M<sub>II</sub> 水路では、砂礫堆は移動するが、ある所で流下して消滅し、また最初の位置から発生すると、同時に周期的に変動をする場合と、凸岸をまわって流下する場合との通りがあり、停止限界に近い状態にある。さらに曲率半径を小さくした M<sub>I</sub> 水路においては、砂礫堆の移動は全く停止する。砂礫堆が停止する限界を求めるには、弯曲訂正水理構造に関する詳細な議論が必要である。

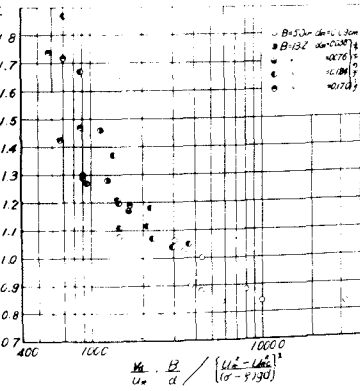


図-2

も非常に困難であるが、定性的には次のように解される。直線水路において砂礫堆が発生している場合には、水流は蛇行し、丁度弯曲部におけるように横断方向にかたりく水頭勾配を生じる。俗名「偏心」に比してかたり小なり場合には、砂礫堆は運動し、かなり大なり場合には停止し、同程度の場合には限界状態に至るものと思われる。弯曲水路における左右岸の水位差  $\Delta H$  は、図-3を参照して概略的には次のように書ける。

$$\Delta H = \int_{r_1}^{r_2} x_1 \left\{ (U_m)^2 / g k_c \right\} dr = \alpha (U_m^2 / g k_c) \cdot B$$

ただし、 $x_1$ は鉛直方向の流速分布形、 $T_{ro}$ の影響、 $\alpha$ は

側壁距離に 따른  $k_c$  の影響によて変化する非常に複雑な係数である。また  $x_1$  にはかたり  $U_m$  の分布形による影響を含むものである。ここで  $(U_m)$  は鉛直線上における平均流速、 $U_m$  は全

水頭（平均流速）である。 $x_1$  は直線水路における砂礫堆に対する左右岸の水位差を  $\Delta H_s$  とすれば、砂礫堆の高さは式(4)式から

$$\Delta H_s / B = \alpha (U_m^2 / g k_c) \quad \dots \dots \dots \quad (5)$$

（式を改めて）、式(5)の右端が不明確であるので、限界状態を適格に求めることはできない。簡単な要素を知ることはできる。いま給水量、流量および勾配が同じ若干の資料について、 $\Delta H_s / B / (U_m^2 / g k_c)$  の値を求めて、 $M_I, M_{II}, M_{III}$  水路におけるそれでは  $0.7 \sim 1.6, 2.2 \sim 4.7, 6 \sim 18$  が得られるが、 $M_{II}$  における限界値は一元、 $2 \sim 5$  程度と考えられる。したがって実験用の資料については検討する必要がある。

参考用の国を下場合にありては、かつ前後の位置が非常に重要な要素にならぬ、二つて水路形状の物理量を持つ併せて、次のように説明を試みる。

Kuznetsov<sup>(2)</sup>は、相面とも弯曲部の流れに対して、主流の流速分布は時刻法則に従う、すなはち運動方程式にありて今  $\zeta$  加速度  $\ddot{\zeta}$  を  $2\zeta/\rho$  の項に対して省略する、直面並列の場所で  $\zeta$  と  $\dot{\zeta}$  と流方向一致するなど仮定をもとに、

$$U_r = (\lambda k_c) (U_m) (h/c) \left\{ F_1(\zeta) - (\sqrt{g}/k_c) [F_2(\zeta) + 0.8 (1 + \zeta)] \right\}$$

$$U_\theta = (U_m) \cdot [1 + (\sqrt{g}/k_c) (1 + \zeta)]$$

$$\text{ここで } F_1(\zeta) = \int \{ 2 \ln \zeta / (\eta - 1) \} d\eta, \quad F_2(\zeta) = \int \{ 1 / \eta^2 / (1 - \eta) \} d\eta$$

$$k_c : \text{Karman 常数}, \quad C : \text{Chezy の係数}, \quad \zeta = z/h$$

を得る。この  $\zeta = d/h$  とし、弯曲部入口を起算として、

後端の位置まで両者はかなりよく一致してくる。砂礫堆の後半部では多少差異が生じてくるが、二区段は砂礫堆の境界線が時間的にかたり運動する不安定な領域である。上の理論は河床運動が著しくない場合のものであつて、運動がかたり進行してから砂礫堆の位置でとまらざらしつづけられますが、砂礫堆前後の位置は運動が進行してもあまり変化しないので、上の方を説明を試みた。

(1) 木下吉作：河川砂礫堆の運動性について。筑波学報 Vol. 14, No. 2, 18 和 36 年。

(2) Kuznetsov : Filon of water in bends of open channels, Academy of Science of the Ukrainian SSR 1957

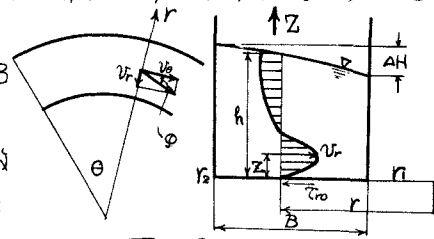


図-3

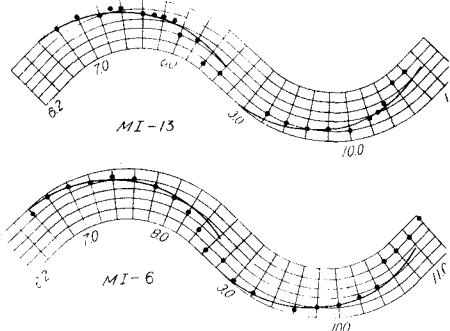


図-4